

07

© 1991

ИССЛЕДОВАНИЕ ПРОПУСКАНИЯ
МНОГОСЛОЙНЫХ ТОНКОПЛЕНОЧНЫХ РЕНТГЕНОВОДОВ

Ю.И. Дудчик, Ф.Ф. Комаров,
М.А. Кумахов, Д.Г. Лобоцкий,
В.С. Соловьев, В.С. Тишков

В работе [1] было показано, что структуры, состоящие из чередующихся слоев „легкого“ и „тяжелого“ материала, могут пропускать рентгеновское и гамма-излучение как волноводы в направлениях, параллельных границе раздела слоев. Исходя из этого, в [2, 3] было предложено использовать такие структуры в качестве мишеней для генерации узоколимированных пучков рентгеновского излучения. Мишень напылялась на гладкую подложку и располагалась перпендикулярно пучку электронов. Слои „тяжелого“ материала играют роль тормозной мишени и образуют стенки рентгеновода. Их толщина по порядку величины совпадает с глубиной, на которую проникают электроны в материал этого слоя при полном внешнем отражении. Излучение распространяется в слоях из легкого материала, минимальная толщина которых определяется из условия отсечки для нулевой моды поперечной составляющей поля и составляет величину ~ 10 нм. Основное преимущество предложенного в [2, 3] излучателя по сравнению с известными микрофокусными трубками состоит в том, что для получения узоколимированных пучков рентгеновского излучения с линейчатым микрофокусом используются электронные пучки с большой площадью поперечного сечения, радиус которого по порядку величины совпадает со средней длиной пробега фотонон в „легком“ материале.

Для практического использования многослойных структур как мишеней в анодном узле рентгеновского излучателя необходимо знать интенсивность выхода рентгеновского излучения из мишени под углами, меньшими критического угла полного внешнего отражения, а также то, как затухает излучение в тонкопленочных рентгеноводах при распространении под малыми углами к границе раздела слоев. Если первая проблема исследовалась в работе [4], то вторая, по-видимому, ранее не рассматривалась из-за отсутствия практического интереса к таким структурам.

В настоящем сообщении приведены результаты исследований по возбуждению рентгеновских волноводных мод в тонкопленочных рентгеноводах.

Методика эксперимента состояла в следующем. Рентгеновское излучение возбуждалось в кремниевой тормозной мишени пучком электронов с энергией 100 кэВ и направлялось на торцевую часть

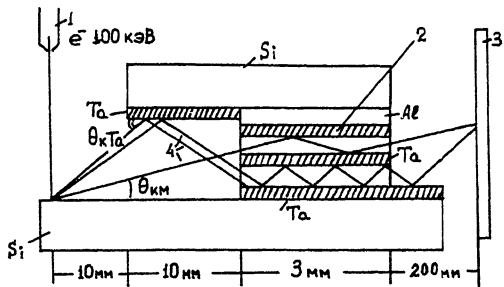


Рис. 1. Схема эксперимента. 1 - электронная пушка, 2 - многослойная структура на кремниевой подложке, 3 - фотопленка, 4 - траектории рентгеновских лучей.

250-слойного тонкопленочного рентгеновода, состоящего из чередующихся слоев тантала и алюминия. Измерялось угловое распределение фотонов, прошедших через рентгеновод.

Для возбуждения волноводных мод в многослойных структурах может быть использована традиционная схема торцевого сопряжения источника излучения и рентгеновода. Однако учитывая то, что поперечный размер рентгеновода, даже при достаточно большом числе слоев, не превышает величину 10–20 мкм, расположение рентгеновского излучателя так, чтобы его микрофокус находился в плоскости, совпадающей с границей раздела слоев, представляет достаточно сложную проблему. Поэтому в настоящей работе тормозная мишень располагалась на подложке многослойного волновода.

Схема установки показана на рис. 1. Сформированная на кремниевой подложке методом ионно-плазменного распыления многослойная структура, состоящая из чередующихся слоев тантала и алюминия, размещалась в камере электронографа. Толщина слоев тантала 30 нм, алюминия – 60 нм, число слоев – 250, длина структуры – 3 мм. Роль тормозной мишени играла сама кремниевая подложка структуры. Мишень располагалась перпендикулярно пучку электронов, как это показано на рис. 1. Размер пятна электронного луча на подложке составлял $\sim 1 \times 1$ мм². Между мишенью и многослойной структурой располагалась кремниевая пластинка, на одну из сторон которой был нанесен слой тантала толщиной ~ 100 нм. Пластинка поглощала излучение, выходящее из мишени под углами большими, чем критический угол полного внешнего отражения от поверхности тантала – θ_{kTa} , и отражала при углах скольжения меньших, чем θ_{kTa} . Слой тантала был нанесен на подложку многослойки за мишенью, как это показано на рис. 1. Регистрация рентгеновского излучения осуществлялась фотопленкой, которая была расположена на расстоянии ~ 200 мм от конца структуры. Измерялась плотность почернения фотопленки. Время экспозиции составляло 60 мин при токе пучка 100 мкА.

В результате проведенных экспериментов на фотопленке была обнаружена узкая полоса почернения, ширина которой составляла

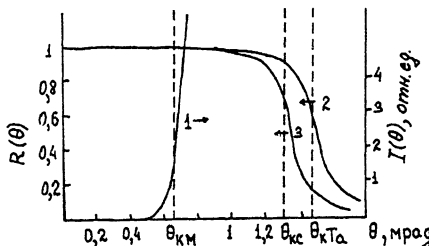


Рис. 2. Угловые зависимости интенсивности выхода $I(\theta)$ тормозных фотонов с энергией 50 кэВ из кремниевой мишени (кривая 1) и коэффициента отражения $R(\theta)$ фотонов с энергией 50 кэВ поверхностью tantalа (кривая 2) и границей раздела алюминий-тантала (кривая 3).

150 мкм, что соответствует угловой расходимости пучка рентгеновского излучения в плоскости, перпендикулярной плоскости рентгеновода, равной 0.8 мрад.

Для правильной интерпретации результатов эксперимента необходимо знать выход рентгеновского излучения из тормозной мишени при малых углах скольжения. Из-за преломления на границе раздела мишень-вакуум излучение выходит из мишени в основном под углом, большим критического угла полного внешнего отражения от материала мишени — θ_{km} , который можно выразить через энергию плазменных колебаний электронов в материале мишени — $\hbar\omega_{pm}$ и энергию рентгеновских квантов $\hbar\omega$ как:

$$\theta_{km} = \frac{\hbar\omega_{pm}}{\hbar\omega}. \quad (1)$$

Угловая зависимость выхода фотонов с энергией 50 кэВ из кремниевой мишени показана на рис. 2 кривой 1. Кривой 2 на рис. 1 показана угловая зависимость коэффициента отражения фотонов с энергией 50 кэВ поверхностью tantalа, а кривой 3 — границей раздела алюминий-тантал. Коэффициент отражения близок к единице при углах скольжения, меньших θ_{kTa} и θ_{kc} , где θ_{kc} — критический угол полного внешнего отражения фотонов границей раздела слоев. Из рис. 2 видно, что электроны, выходящие из мишени под углами скольжения θ , такими, что $\theta_{km} < \theta < \theta_{kc}$, эффективно захватываются в волноводный режим распространения вдоль структуры. Величина указанного углового интервала зависит от энергии фотонов, что следует из соотношения (1). Глубина z выхода излучения из тормозной мишени в интервал углов θ , таких, что $\theta_{km} < \theta < \theta_{kc}$, можно оценить из закона преломления. С учетом поглощения она определяется по формуле (2):

$$z = (k)^{-1} (\theta_{kc}^2 - \theta_{km}^2)^{-1}, \quad (2)$$

где κ – показатель ослабления излучения материалом мишени. Глубина выхода фотонов с энергией 50 кэВ из кремния в интервал углов $\theta < \theta_{\text{кс}} = 1.3$ мрад составляет 100 мкм. Место выхода излучения из мишени при таких малых углах может отстоять от точки входа электрона в мишень на величину, равную длине пробега фотонов в мишени.

При прохождении излучения через многослойный волновод происходит его ослабление как за счет поглощения материалом „легкого“ слоя, так и за счет поглощения материалом „тяжелого“ слоя при отражении. При этом, как показывают расчеты пропускания волновода по формулам, приведенным в [2], происходит коллимация пучка, потому что фотоны, распространяющиеся в каналах под большими углами, испытывают большее число отражений и сильнее поглощаются. Следовательно, расходимость пучка на выходе из структуры должна быть меньше, чем величина ($\theta_{\text{кс}} - \theta_{\text{км}}$). Число отражений, которое испытывают фотоны, распространяющиеся под углом 1 мрад в структуре длиной 3 мм равно 50. Спектральное распределение фотонов на выходе из структуры отличается от исходного тормозного спектра за счет отмеченных выше процессов поглощения. Как показали оценки, это распределение имеет максимум в интервале энергий фотонов 30–50 кэВ и именно поэтому приведенные в работе расчеты зависимости выхода излучения и коэффициентов отражения выполнены для фотонов с энергией 50 кэВ.

Таким образом, из вышеизложенного следует, что измеренная угловая расходимость рентгеновского пучка (0.8 мрад) по порядку величины совпадает с ожидаемой расходимостью, значение которой близко к величине ($\theta_{\text{кс}} - \theta_{\text{км}}$) = 0.7 мрад для фотонов с энергией 50 кэВ. Это позволяет высказать предположение о том, что в эксперименте действительно наблюдалось прохождение рентгеновских фотонов с энергией 30–100 кэВ в многослойном тонкопленочном рентгеноводе.

С другой стороны, описанная в данном сообщении установка для исследования пропускания тонкопленочных волноводов представляет самостоятельный интерес как источник рентгеновского излучения. Источник позволяет получать узкоколимированные пучки рентгеновского излучения с линейчатым микрофокусом. Он может найти применение в рентгеновской томографии и микроскопии.

Список литературы

- [1] Комаров Ф.Ф., Кумахов М.А. // Поверхность. Физика, химия, механика. 1986. № 3. С. 5–12.
- [2] Дудчик Ю.И., Комаров Ф.Ф., Соловьев В.С., Тишков В.С. // Письма в ЖТФ. 1990. Т. 16. В. 1. С. 57–61.
- [3] Дудчик Ю.И., Комаров Ф.Ф., Кумахов М.А. и др. // Письма в ЖТФ. 1990. Т. 16. В. 15. С. 43–47.

[4] Becker R.S., Golovchenko J.A.,
Patei J.R. // Phys. Rev. Lett. 1983. V. 50.
N 3. P. 153-156.

Поступило в Редакцию
30 мая 1991 г.